



El Problema de los Tres Cuerpos

Jacobo Parodi

Juan Pablo Marulanda

Maryi A. Carvajal

<https://github.com/Jumarulanda/ProblemaDeLasTresBolas>

Construcción del problema

El problema de los 3 cuerpos consiste en la dinámica de 3 cuerpos que interactúan gravitacionalmente. De donde puede definirse un hamiltoniano crudo de la forma:

$$\mathcal{H} = -\frac{Gm_1m_2}{|\mathbf{r}_1 - \mathbf{r}_2|} - \frac{Gm_2m_3}{|\mathbf{r}_3 - \mathbf{r}_2|} - \frac{Gm_3m_1}{|\mathbf{r}_3 - \mathbf{r}_1|} + \frac{\mathbf{p}_1^2}{2m_1} + \frac{\mathbf{p}_2^2}{2m_2} + \frac{\mathbf{p}_3^2}{2m_3}.$$

Sin, embargo, veremos que el sistema coordenado usual no es el adecuado para resolver el problema. La primera propuesta es determinar unas coordenadas generalizadas relativas de la siguiente forma:

$$\mathbf{q}_i = \mathbf{r}_j - \mathbf{r}_k$$

Construcción del Problema

La forma en que deben construirse los momentos canónicos es de la siguiente forma. En este caso los momentos \mathbf{k} son los que están asociados a los cada una de los cuerpos, mientras que los momentos \mathbf{p} son los momentos generalizados:

$$\mathbf{q}_i = \mathbf{r}_j - \mathbf{r}_k$$

$$m_j m_k \dot{\mathbf{q}}_i = m_k (m_j \dot{\mathbf{r}}_j) - m_j (m_k \dot{\mathbf{r}}_k)$$

$$\mu_i \dot{\mathbf{q}}_i = \frac{\mu_i}{m_j} \mathbf{k}_j - \frac{\mu_i}{m_k} \mathbf{k}_k = \mathbf{p}_i$$

Ahora bien, las masas reducidas deben definirse de la siguiente forma para conservar la simetría de las ecuaciones:

$$\mu_i = \frac{m_j m_k}{m_i + m_j + m_k}$$

Hamiltoniano y Ecuaciones Diferenciales

Con las nuevas transformaciones el hamiltoniano queda simplemente como:

$$\mathcal{H}(p, q) = \sum_{i=1}^3 \left\{ -G\mu_i \frac{M}{q_i} + \frac{1}{2\mu_i} p_i^2 \right\}$$

De donde pueden deducirse las ecuaciones de movimiento de Hamilton con facilidad:

$$\begin{aligned} \frac{dp_i}{dt} &= -\frac{\partial \mathcal{H}}{\partial q_i} = \mu_i F_i(\mathbf{q}) & F_i(\mathbf{q}) &= G \left(M \frac{\mathbf{q}_i}{q_i^3} + m_i \mathbf{G}(\mathbf{q}) \right) \\ \frac{dq_i}{dt} &= \frac{\partial \mathcal{H}}{\partial p_i} = \frac{1}{\mu_i} p_i & G(\mathbf{q}) &= \frac{\mathbf{q}_1}{q_1^3} + \frac{\mathbf{q}_2}{q_2^3} + \frac{\mathbf{q}_3}{q_3^3} \end{aligned}$$

Centro de Masa y Ecuaciones de Transformación Inversa

La matriz que definen la transformación entre las coordenadas \mathbf{r} y las \mathbf{q} no es inversible, de modo que deben recuperarse por medio de la información del centro de masa, éste debe moverse a una velocidad constante. Se elige el sistema de referencia donde éste esté quieto donde:

$$\begin{pmatrix} \mathbf{r}_1 \\ \mathbf{r}_2 \\ \mathbf{r}_3 \end{pmatrix} = \frac{1}{M} \begin{pmatrix} m_3 & m_2 & M \\ -m_3 & -(m_3 + m_1) & M \\ m_1 + m_2 & m_2 & M \end{pmatrix} \begin{pmatrix} \mathbf{q}_2 \\ \mathbf{q}_3 \\ \mathbf{r}_{cm} \end{pmatrix}$$

Y derivando, se halla para momentos:

$$\begin{pmatrix} \mathbf{k}_1 \\ \mathbf{k}_2 \\ \mathbf{k}_3 \end{pmatrix} = \begin{pmatrix} -1 & 1 \\ \frac{\mu_1}{\mu_3} & -(1 + \frac{\mu_1}{\mu_2}) \\ 1 + \frac{\mu_1}{\mu_3} & \frac{\mu_1}{\mu_2} \end{pmatrix} \begin{pmatrix} \mathbf{p}_2 \\ \mathbf{p}_3 \end{pmatrix}$$

Transformaciones Simplécticas

A cada cuerpo del sistema se le asocian coordenadas (p_i, q_i) .

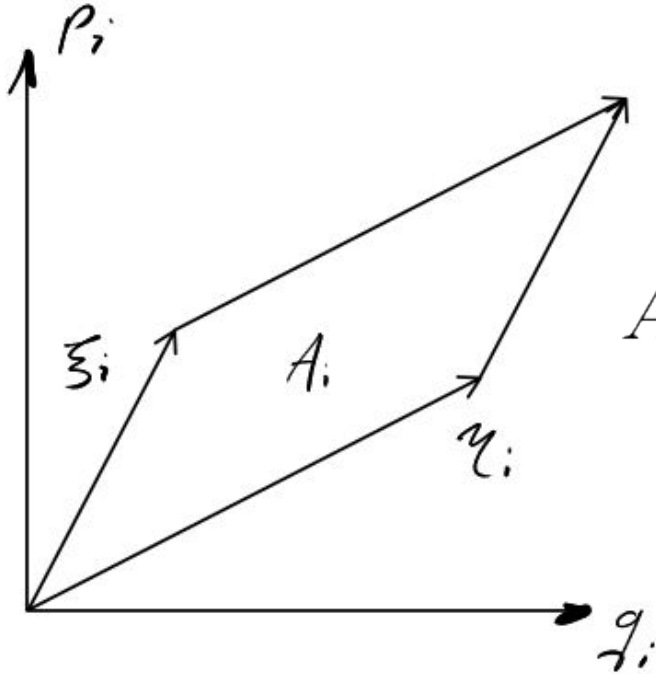
El espacio en el que se trabaja es de dimensión \mathbb{R}^{2d} .

Sean dos vectores en dicho espacio, ξ y η , dados como

$$\xi = \begin{pmatrix} \xi^d \\ \dot{\xi}^d \end{pmatrix}, \quad \eta = \begin{pmatrix} \eta^d \\ \dot{\eta}^d \end{pmatrix} \quad \text{con} \quad \xi^d, \dot{\xi}^d, \eta^d, \dot{\eta}^d \in \mathbb{R}^d$$

Transformaciones Simplécticas

Tomando la proyección de los vectores en el i -ésimo subespacio (p_i, q_i)



$$A_i = \det([\xi_i \ \eta_i]) = \xi_i \dot{\eta}_i - \eta_i \dot{\xi}_i$$

Transformaciones Simplécticas

Sumando todas las proyecciones en todos los subespacios (p_i, q_i) , puede definirse un mapa bilineal $\omega : \mathbb{R}^{2d} \rightarrow \mathbb{R}$ definido como

$$\omega(\xi, \eta) = \sum_{i=1}^d \det([\xi_i, \eta_i]) = \sum_{i=1}^d A_i$$

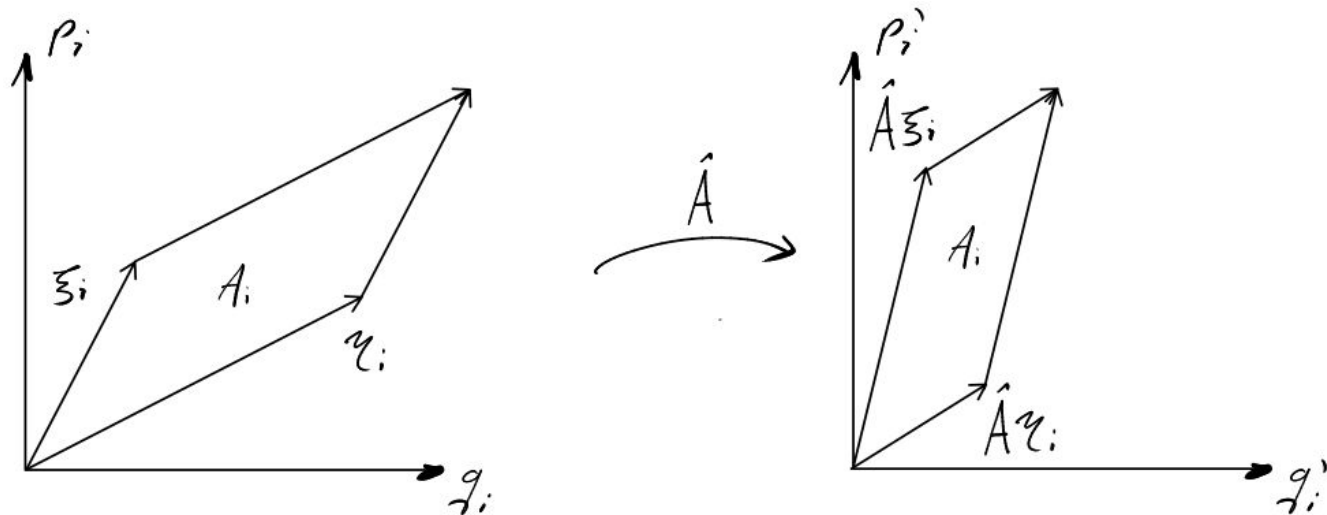
O, análogamente

$$\omega(\xi, \eta) = \xi^T \mathbf{J} \eta, \text{ con } \mathbf{J} = \begin{pmatrix} 0 & \mathbb{I}_d \\ -\mathbb{I}_d & 0 \end{pmatrix}$$

Transformaciones Simpléticas

Sea una transformación lineal $A : \mathbb{R}^{2d} \rightarrow \mathbb{R}^{2d}$, este mapa se dice simplético si cumple que la sumatoria de las áreas proyectadas se conserva, esto es

$$\omega(A\xi, A\eta) = \omega(\xi, \eta)$$



¿Por qué un integrador simpléctico?

- ❑ Preserva el área en el espacio de fase.
- ❑ El error acumulado entre variables incrementa linealmente¹.
- ❑ Un integrador simpléctico puede integrar órbitas con gran excentricidad sin necesidad de cambiar el tamaño del paso¹.

¹Kinoshita, H., Yoshida, H. & Nakai, H. (1990). Symplectic integrators and their application to dynamical astronomy.

Verlet de velocidades

Es una modificación del método de Euler. Teniendo una ecuación diferencial de segundo orden de la forma

$$\ddot{x} = F(x)$$

Notar que no hay dependencia en la forma funcional sobre la primera derivada

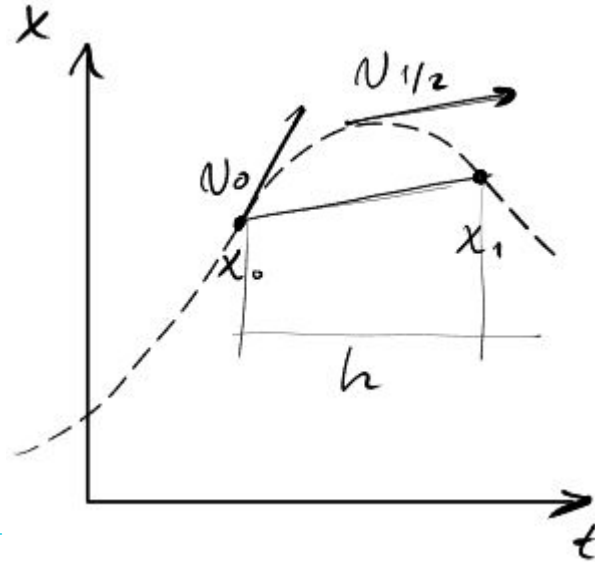
Esta se descompone en un sistema de dos ecuaciones acopladas, pero sólo de primer orden

$$\begin{aligned}\dot{x} &= v \\ \dot{v} &= F(x)\end{aligned}$$

Verlet de velocidades

Evolución de un paso temporal en Euler: $x_{n+1} = x_n + h v_n$

Evolución de un paso temporal en el Verlet de Velocidades: $x_{n+1} = x_n + h v_{n+1/2}$



Verlet de velocidades

Para solucionar el sistema, debe calcularse:

- La velocidad en el paso medio siguiente (de aquí el leapfrog). Esto puede hacerse con un Euler a medio paso

$$v_{n+1/2} = v_n + \frac{h}{2}F(x_n)$$

- Se calcula el siguiente valor en las posiciones

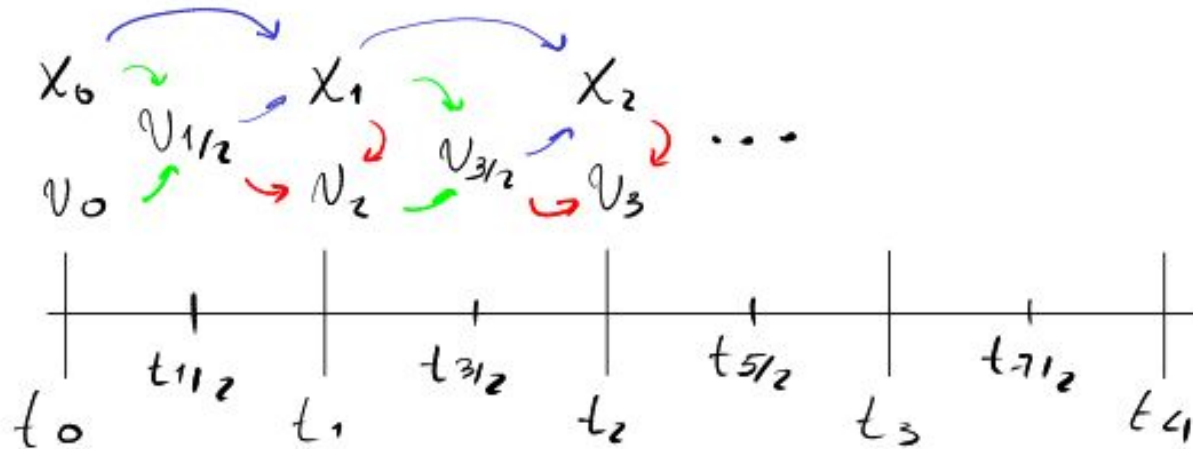
$$x_{n+1} = x_n + hv_{n+1/2}$$

- Se calcula el siguiente valor entero en las velocidades, nuevamente con un Euler a medio paso

$$v_{n+1} = v_{n+1/2} + \frac{h}{2}F(x_{n+1})$$

Verlet de velocidades

SALTORRANA!



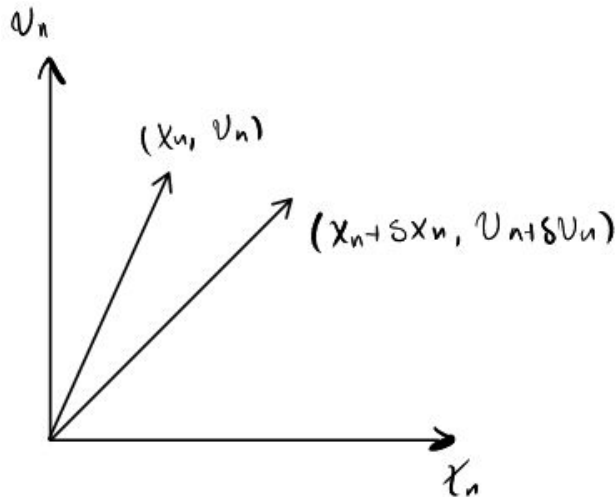
Verlet de velocidades

¿Por qué es simpléctico?

$$\begin{pmatrix} \delta x_{n+1} \\ \delta v_{n+1} \end{pmatrix} = \tilde{\mathbf{J}} \begin{pmatrix} \delta x_n \\ \delta v_n \end{pmatrix} \quad \text{Consecuencia de la conservación de las áreas}$$

$$\tilde{\mathbf{J}} = \begin{pmatrix} 1 & 0 \\ \frac{h}{2}F'(x_{n+1}) & 1 \end{pmatrix} \begin{pmatrix} 1 & h \\ 0 & 1 \end{pmatrix} \begin{pmatrix} 1 & 0 \\ \frac{h}{2}F'(x_n) & 1 \end{pmatrix}$$

$$\det(\tilde{\mathbf{J}}) = 1$$



Runge Kutta 4 Simpléctico y Explícito

Se asume un hamiltoniano cuya forma es:

$$H(q, p) = K(p) + U(q)$$

Donde q y p son las coordenadas canónicas. Con esto se obtiene la forma general para integrador de Runge Kutta 4, con h siendo el tamaño del paso:

$$\begin{aligned} q_1 &= q_0 + c_1 h \frac{\partial K}{\partial p}(p_0), & p_1 &= p_0 - d_1 h \frac{\partial U}{\partial q}(q_0), \\ q_2 &= q_1 + c_2 h \frac{\partial K}{\partial p}(p_1), & p_2 &= p_1 - d_2 h \frac{\partial U}{\partial q}(q_1), \\ q_3 &= q_2 + c_3 h \frac{\partial K}{\partial p}(p_2), & p_3 &= p_2 - d_3 h \frac{\partial U}{\partial q}(q_2), \\ q_4 &= q_3 + c_4 h \frac{\partial K}{\partial p}(p_3), & p_4 &= p_3 - d_4 h \frac{\partial U}{\partial q}(q_3), \end{aligned}$$

Se puede demostrar que es una transformación simpléctica así:

$$\begin{aligned}
 \{q_1, p_1\} &= \frac{\partial q_1}{\partial q_0} \frac{\partial p_1}{\partial p_0} - \frac{\partial q_1}{\partial p_0} \frac{\partial p_1}{\partial q_0} \\
 &= 1 \left(1 - d_1 h \frac{\partial^2 U}{\partial q_0^2} c_1 h \frac{\partial^2 k}{\partial p_0^2} \right) + d_1 h \frac{\partial^2 U}{\partial q_0^2} c_1 h \frac{\partial^2 k}{\partial p_0^2} \\
 &= 1
 \end{aligned}$$

Este mismo análisis se puede ir haciendo progresivamente para demostrar que $q_{\square+1}$ y $p_{\square+1}$ son symplecticos.

Para encontrar los coeficientes debemos imponer ciertas condiciones:

- ❑ La truncación local del error es del orden h^5 .
- ❑ Reversibilidad de la solución numérica.

Con las que se encuentra que:

$$c_1 = c_4 = \frac{1}{2(2 - \beta)}$$

$$d_1 = d_3 = \frac{1}{(2 - \beta)}$$

$$d_4 = 0$$

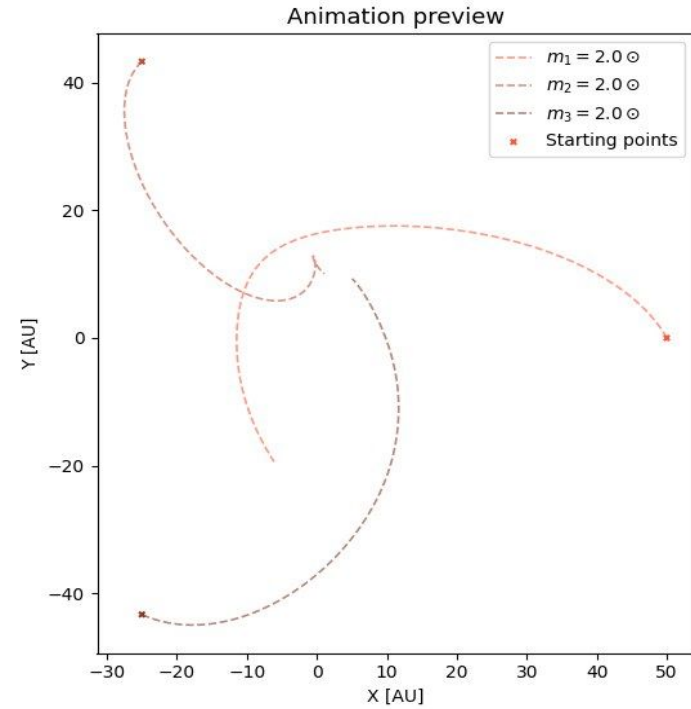
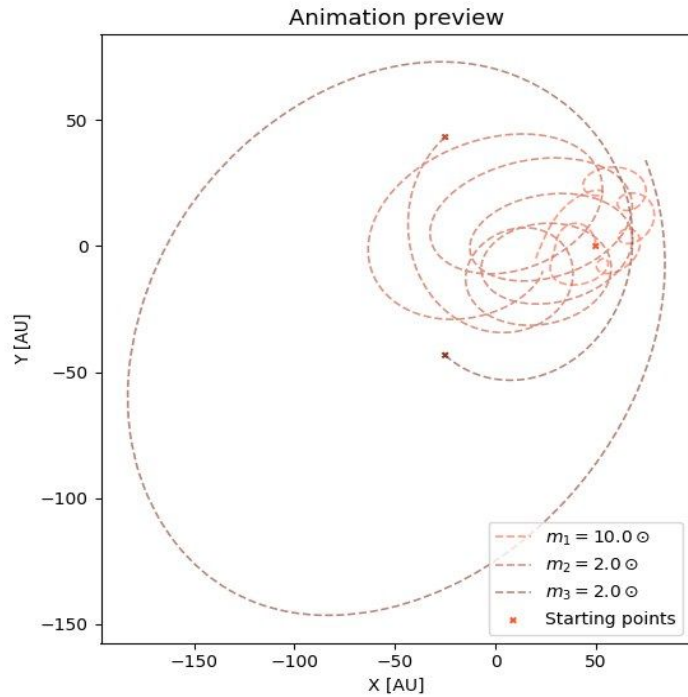
$$c_2 = c_3 = \frac{(1 - \beta)}{2(2 - \beta)}$$

$$d_2 = -\frac{\beta}{(2 - \beta)}$$

Siendo

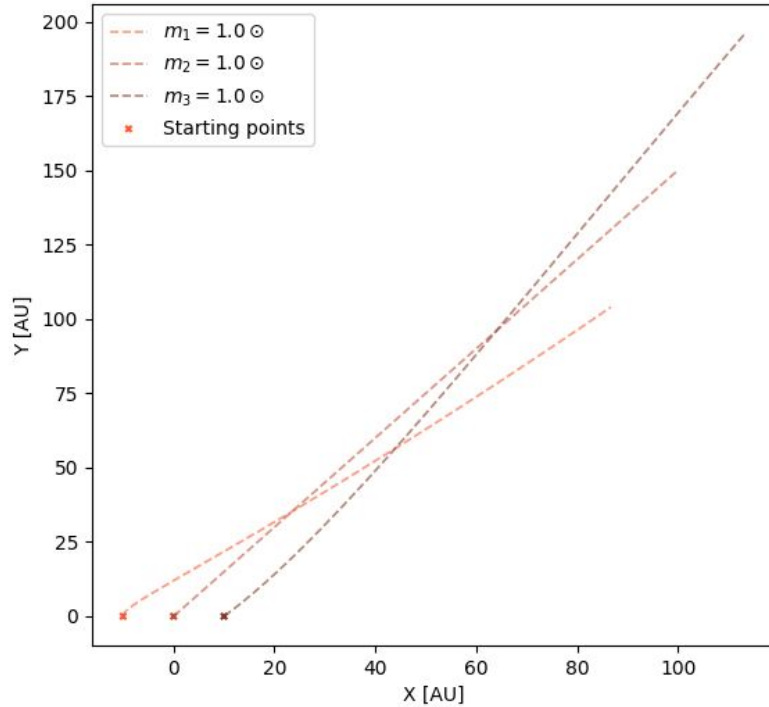
$$\beta = 2^{\frac{1}{3}}$$

Resultados

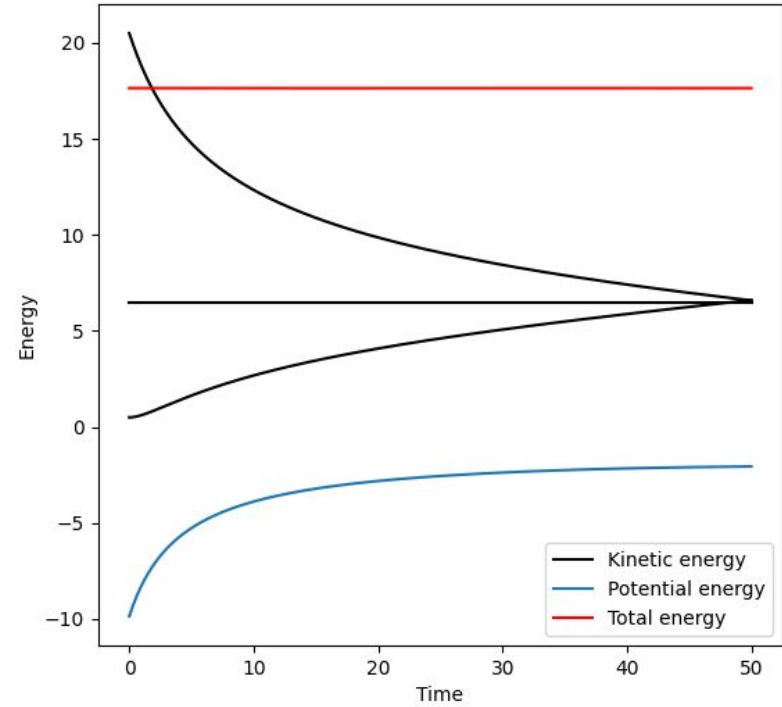


Partículas que se escapan

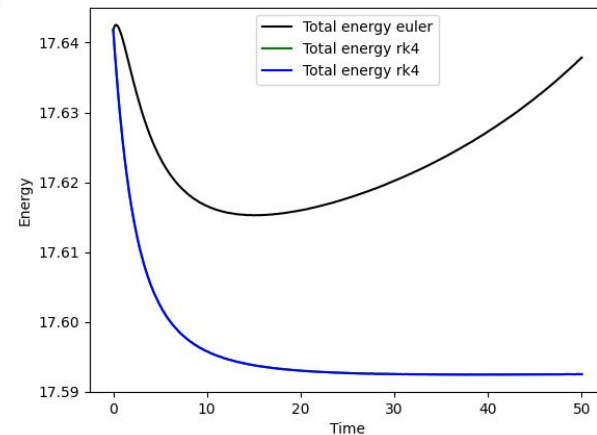
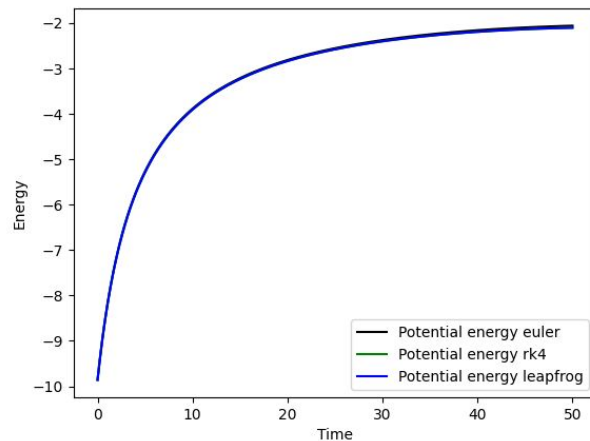
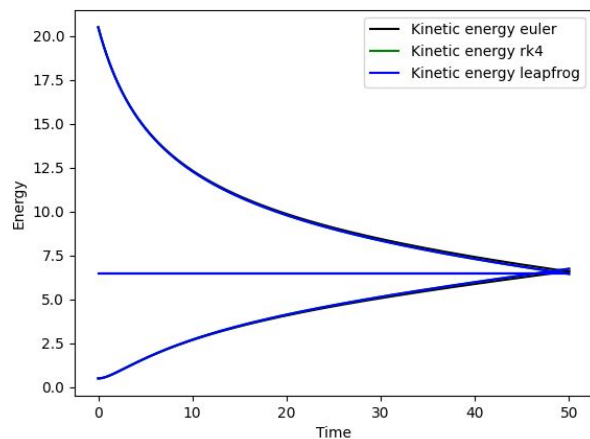
Animation preview



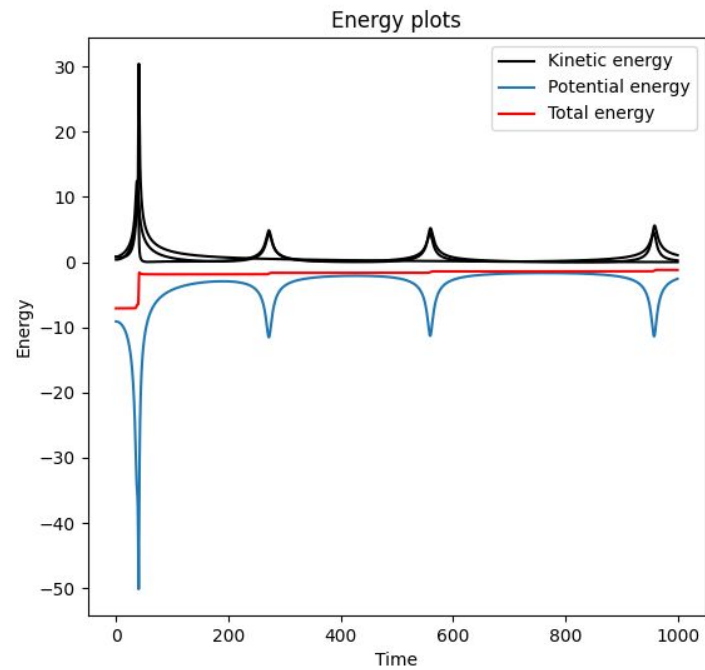
Energy plots



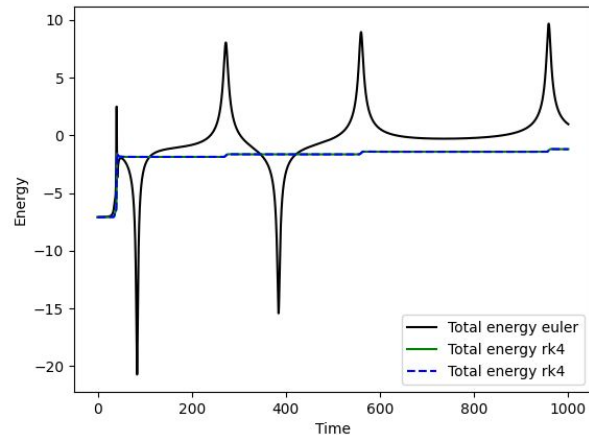
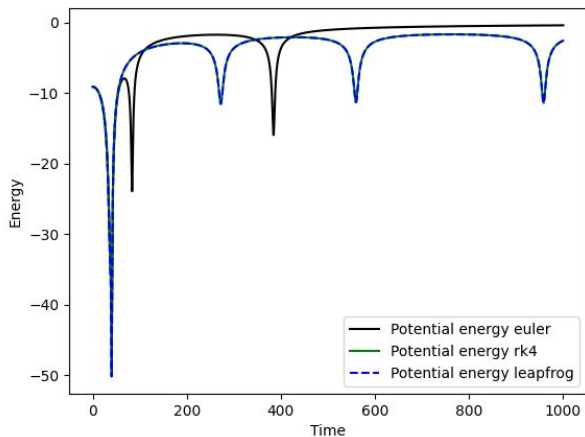
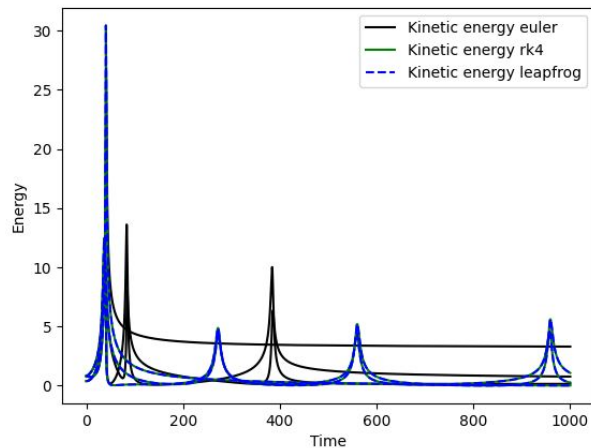
Comparación entre Integradores



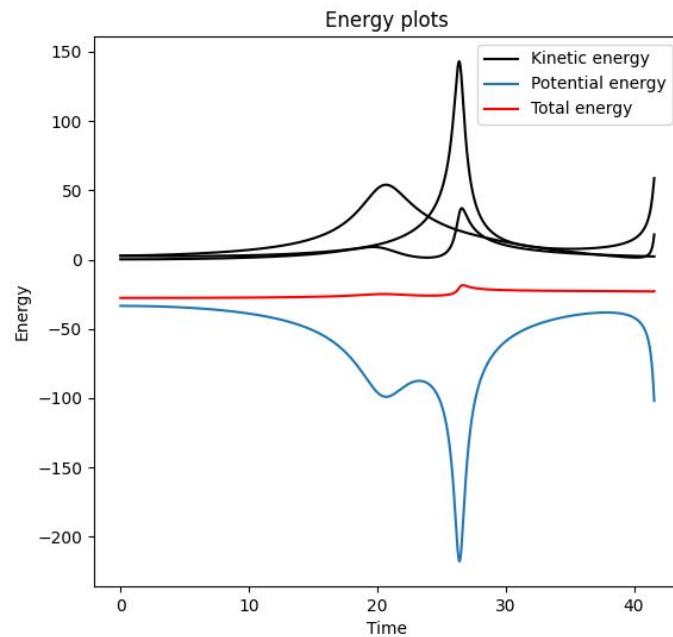
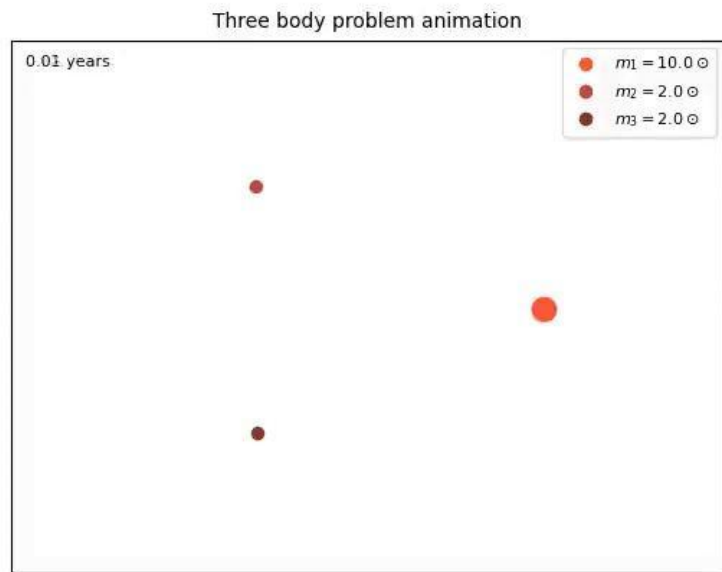
Órbitas Caóticas



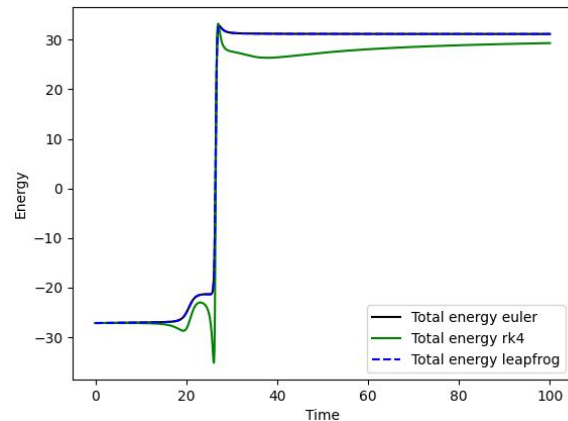
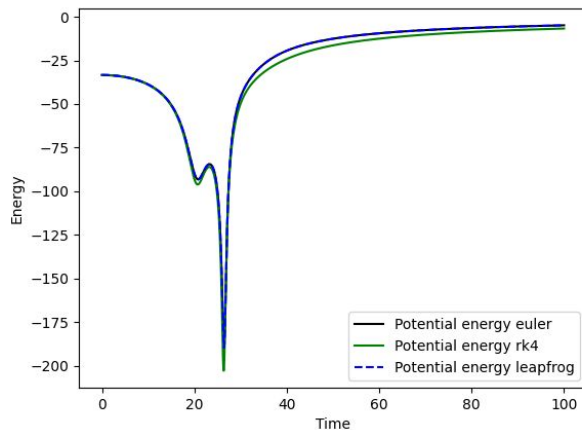
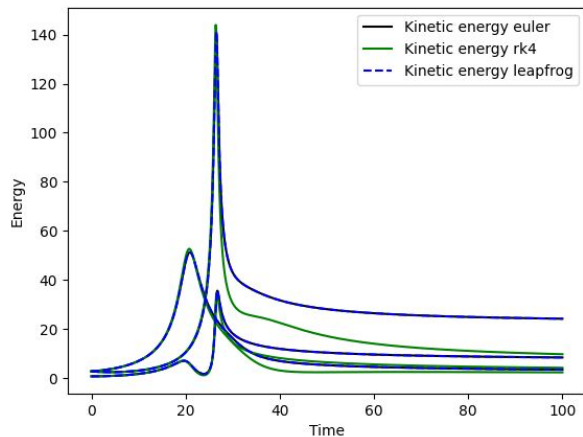
Comparación entre Integradores



Colisión



Comparación entre Integradores



Conclusiones

- ❑ Debido a la caoticidad del sistema encontrar un integrador que en cualquier caso conserve la energía aún es un problema abierto en la literatura.
- ❑ Los métodos simplécticos muestran una mayor estabilidad en la energía total del sistema.
- ❑ Sin importar el orden del método simpléctico, ambos mostraron el mismo comportamiento.